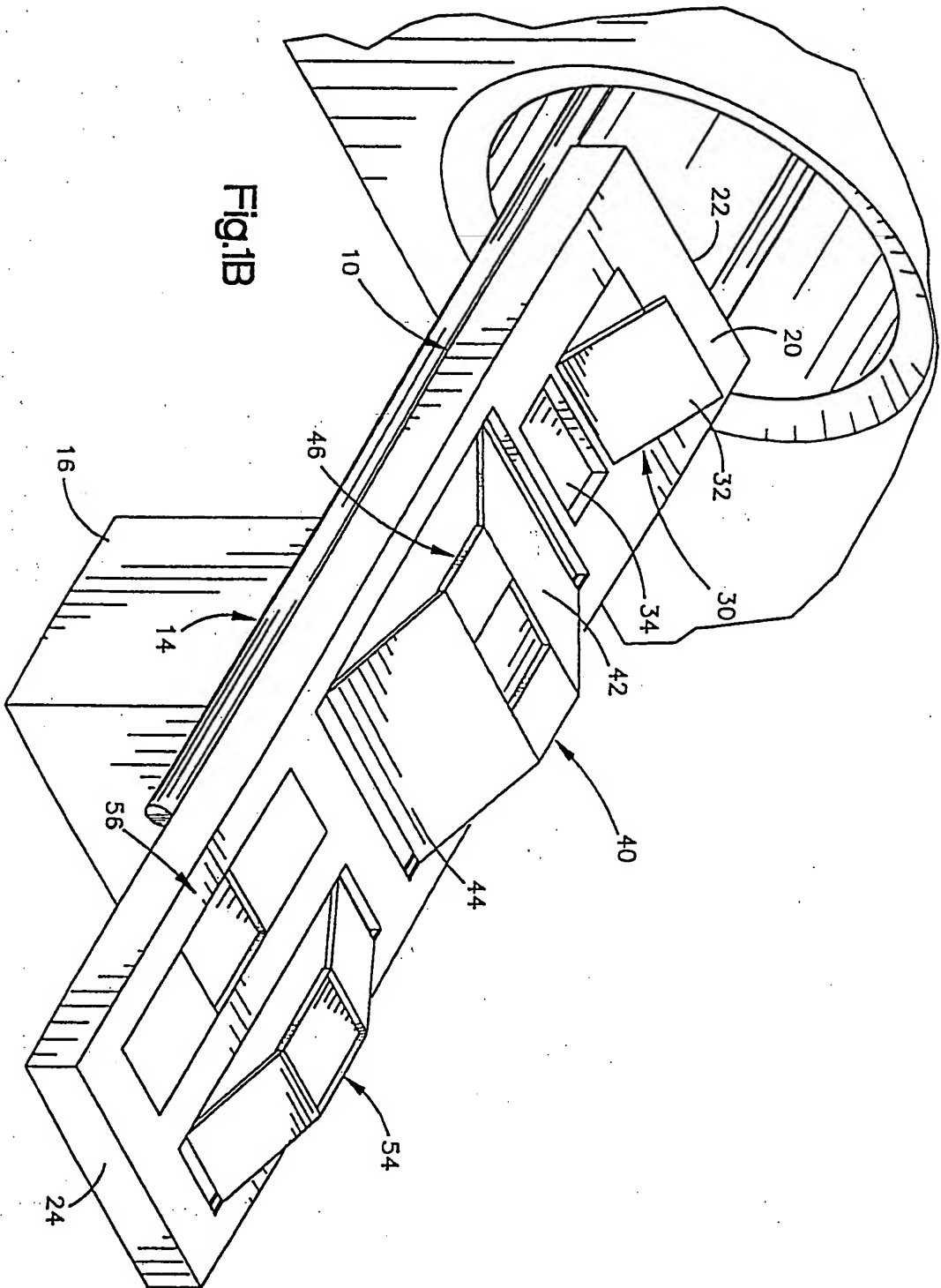
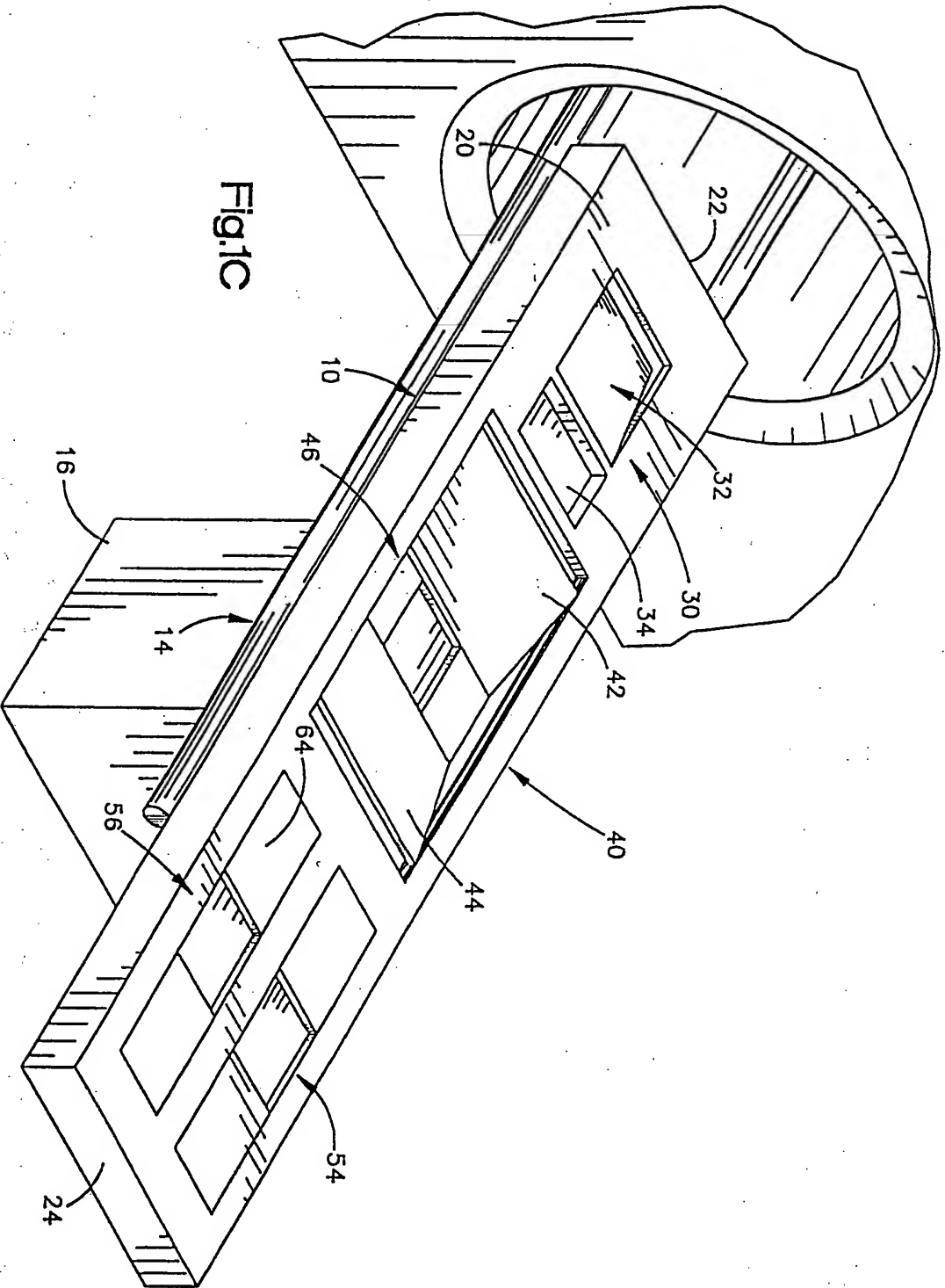
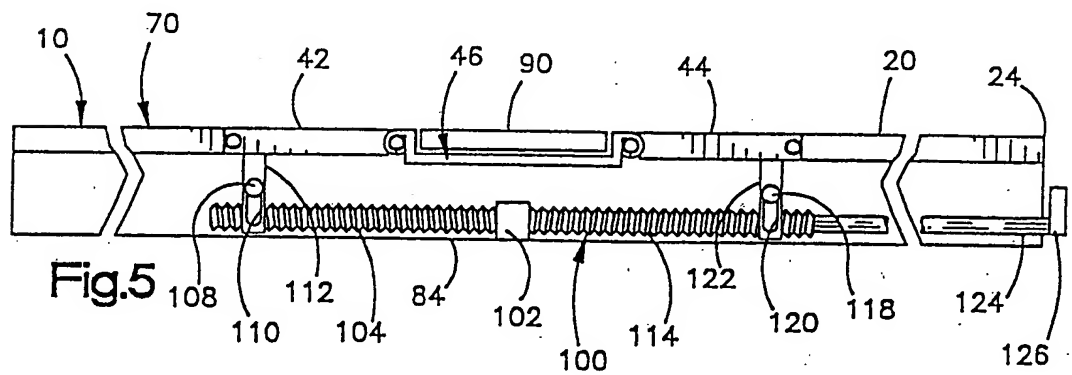
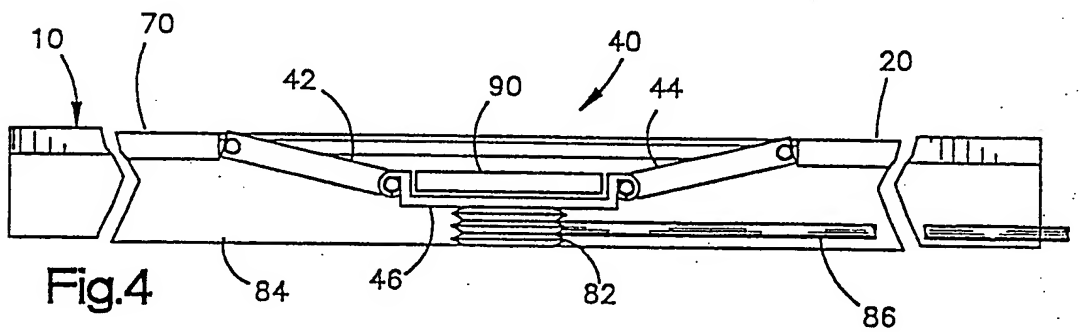
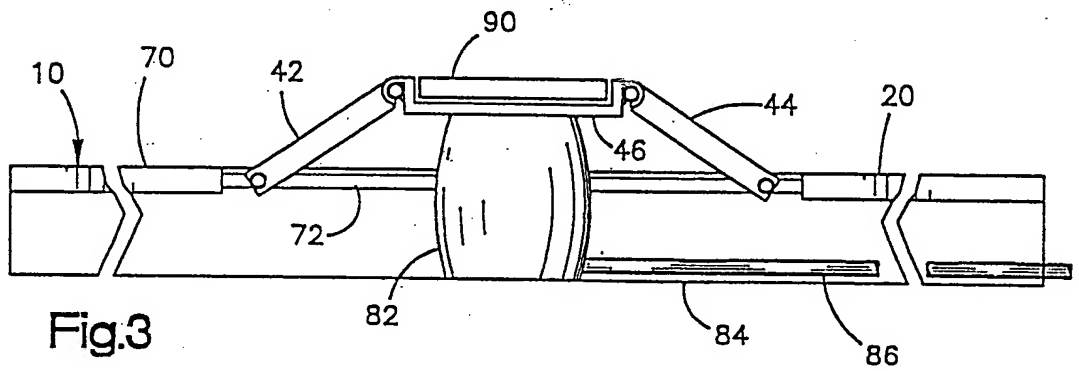
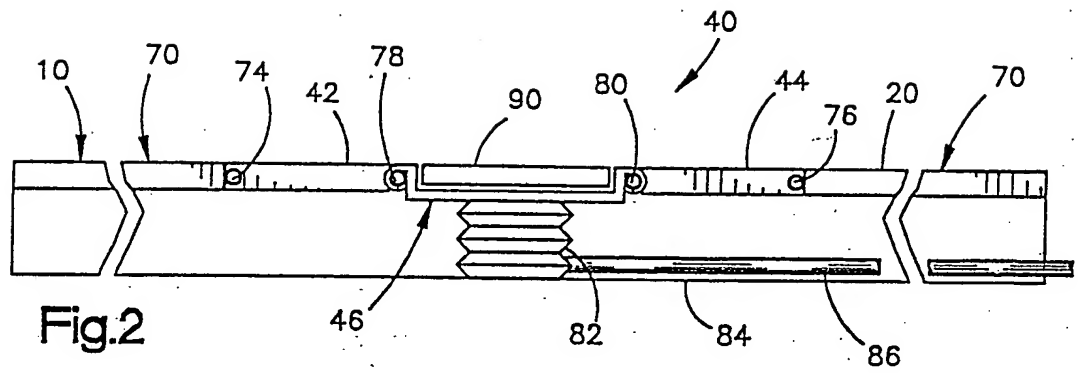
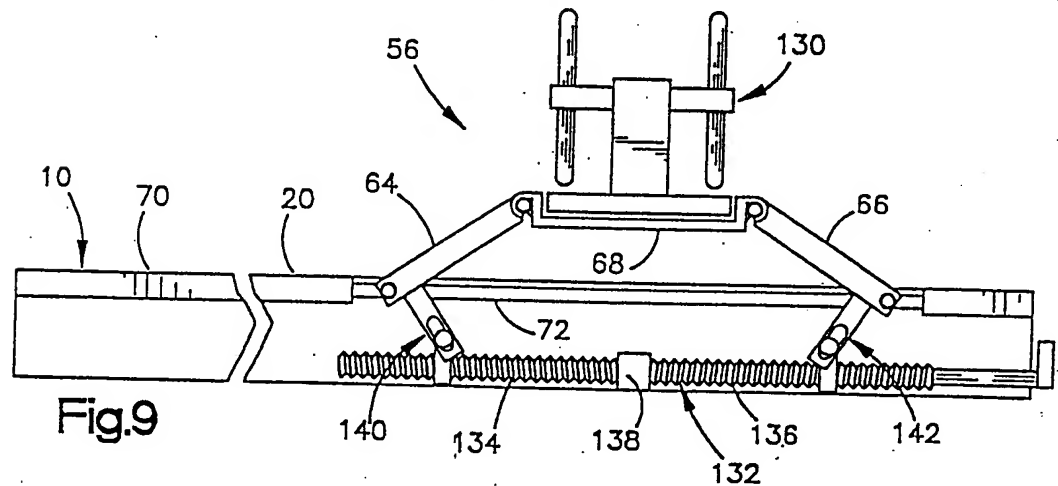
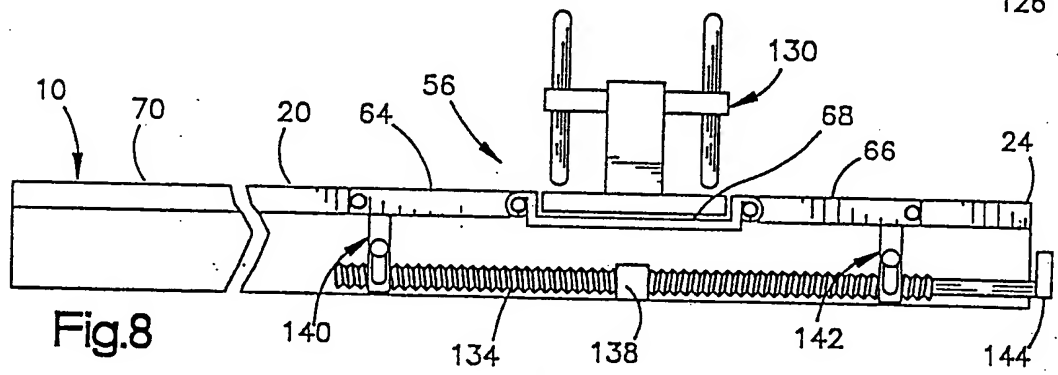
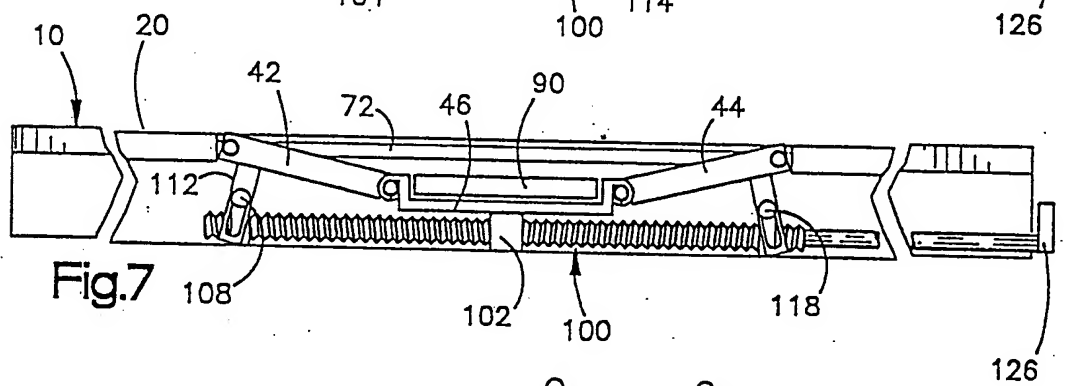
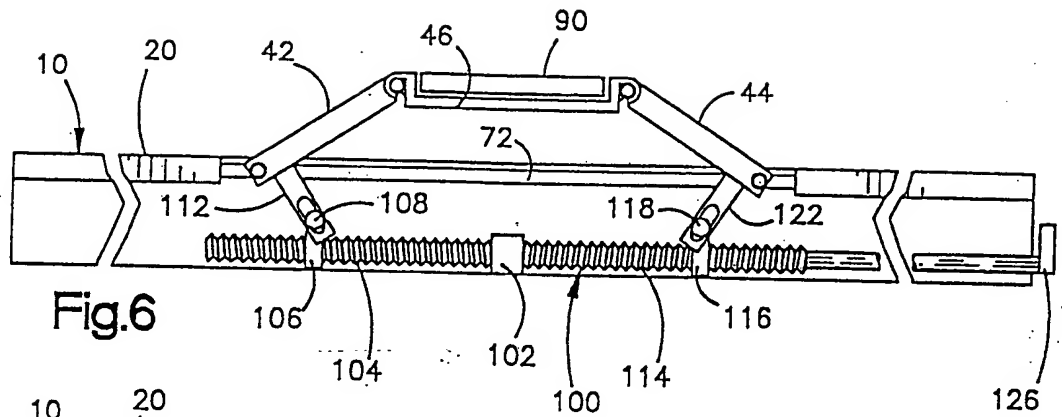


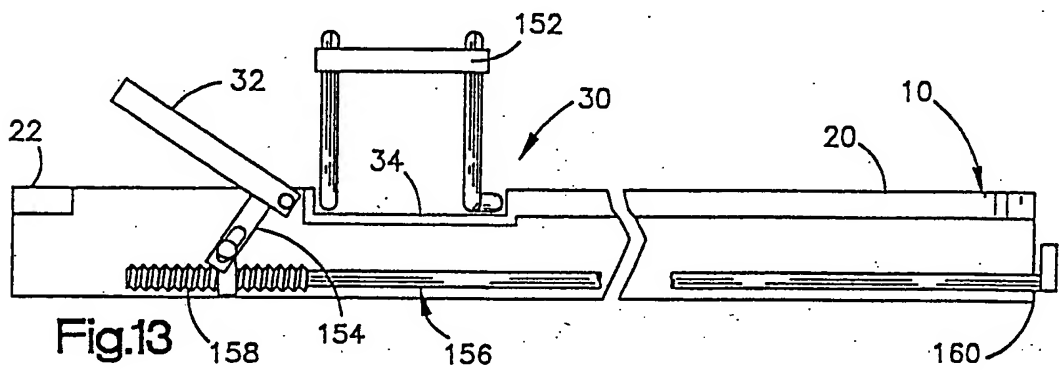
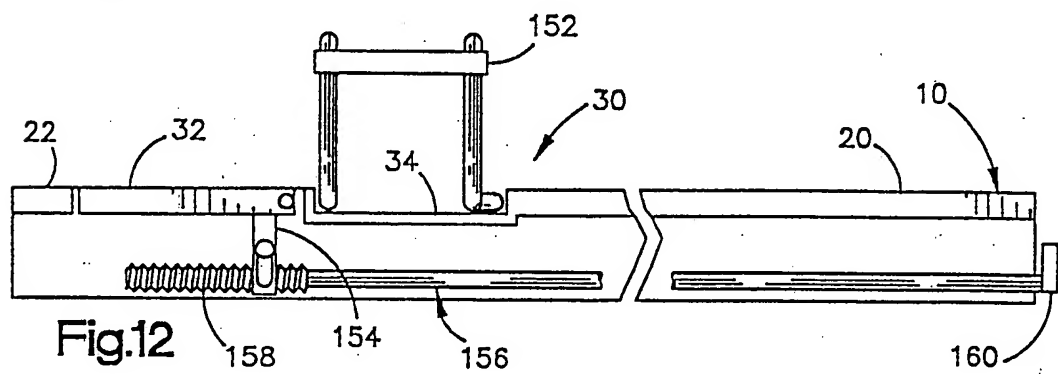
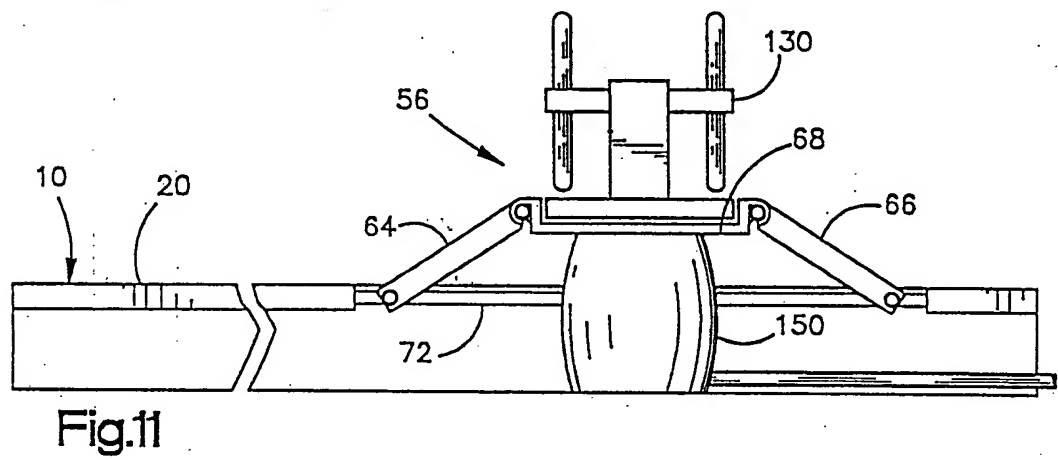
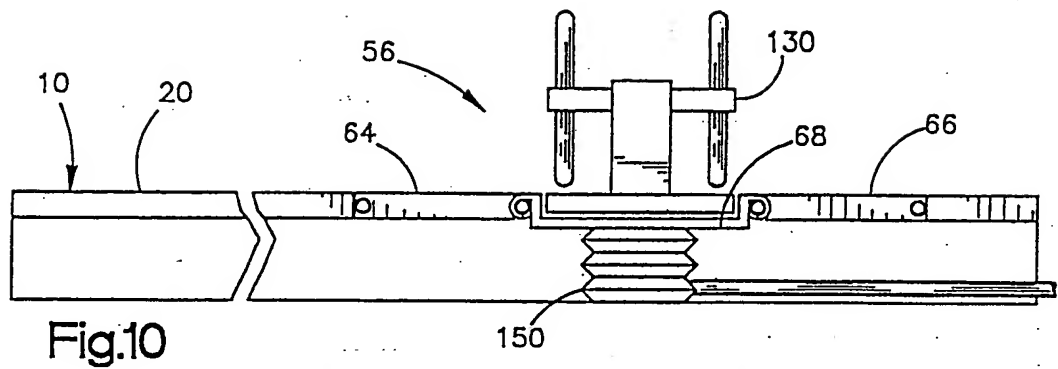
Fig. 1A

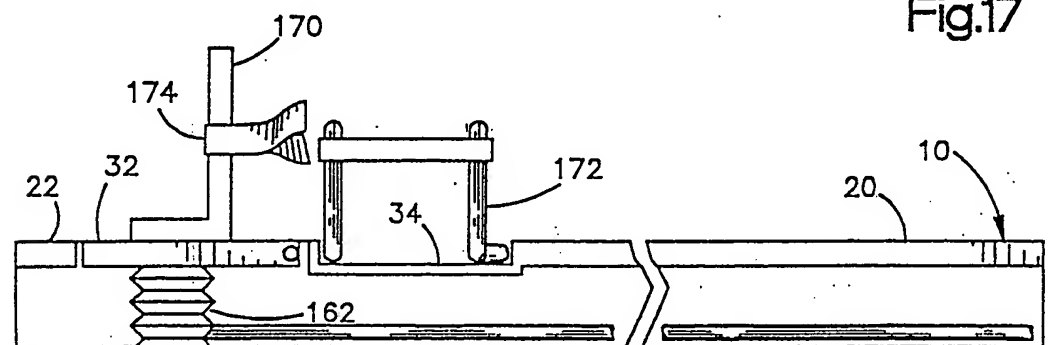
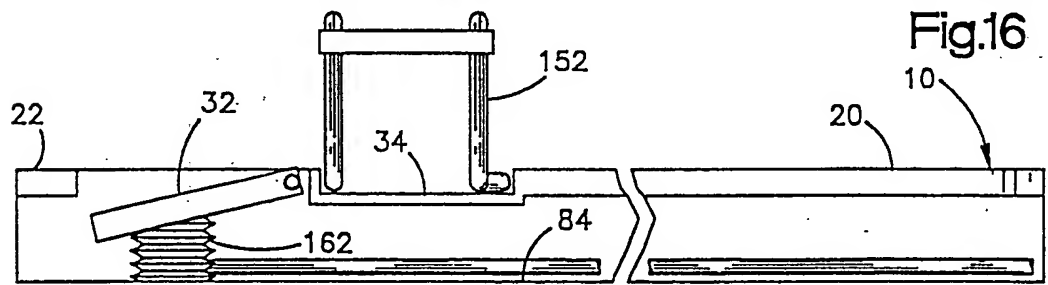
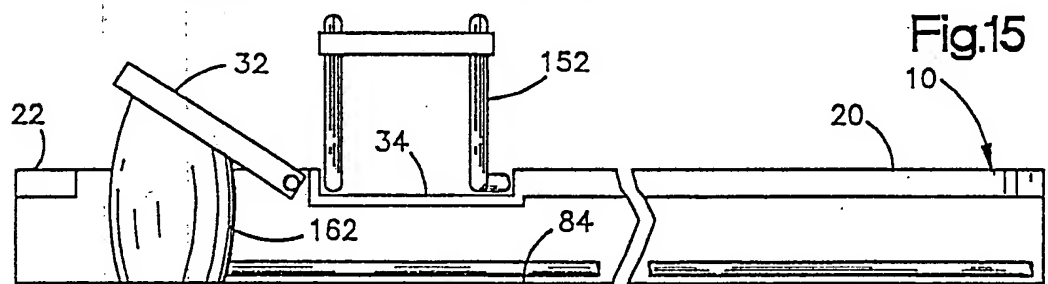
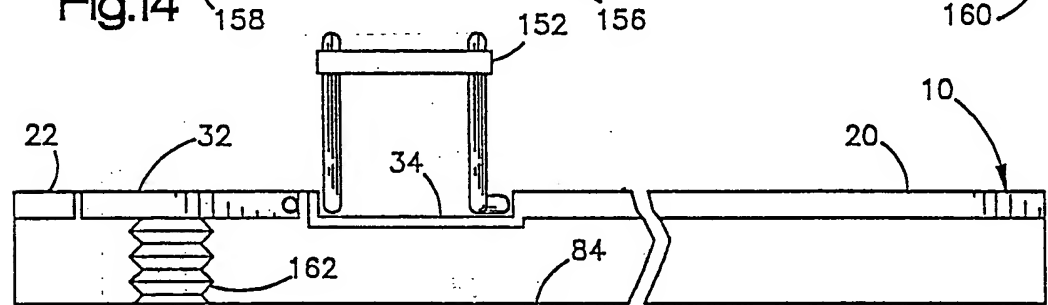
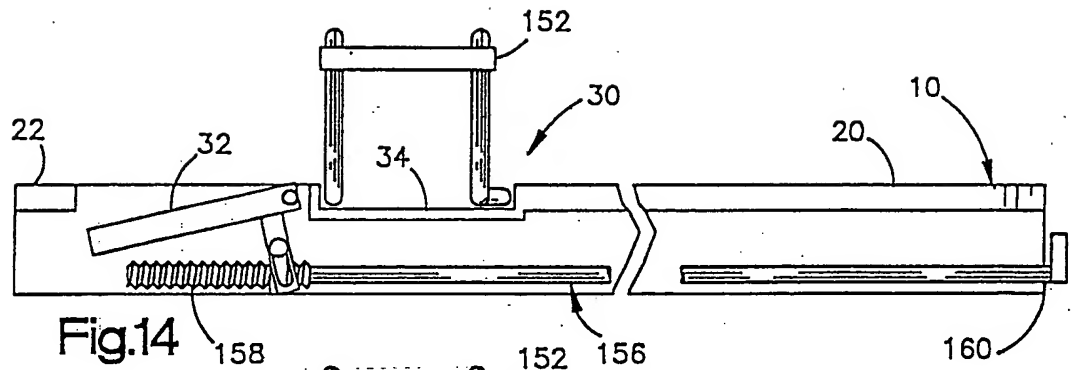












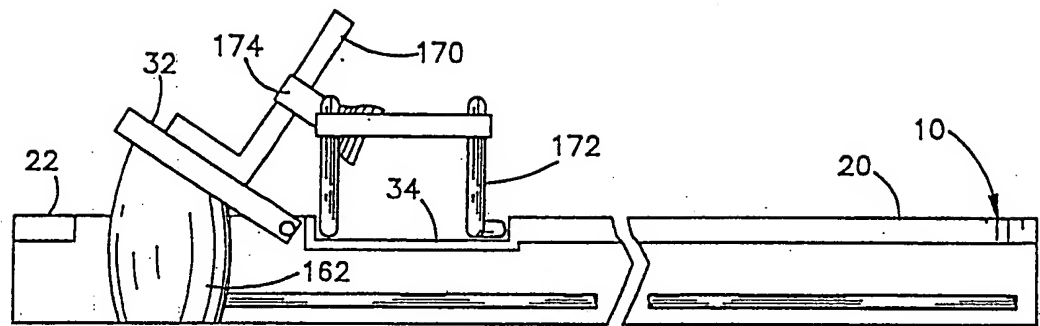


Fig.19

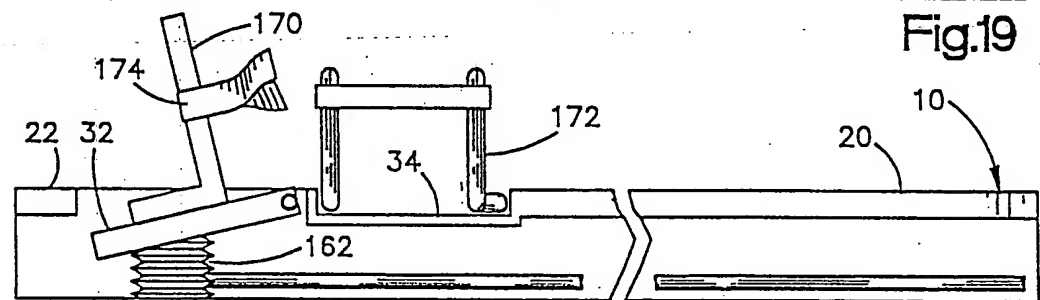


Fig.20

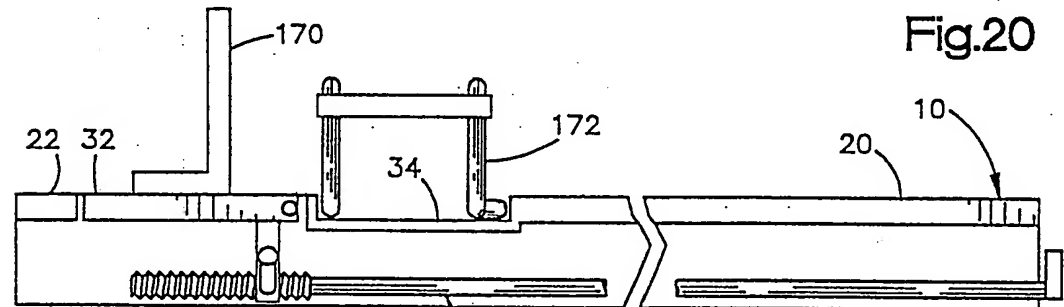


Fig.21

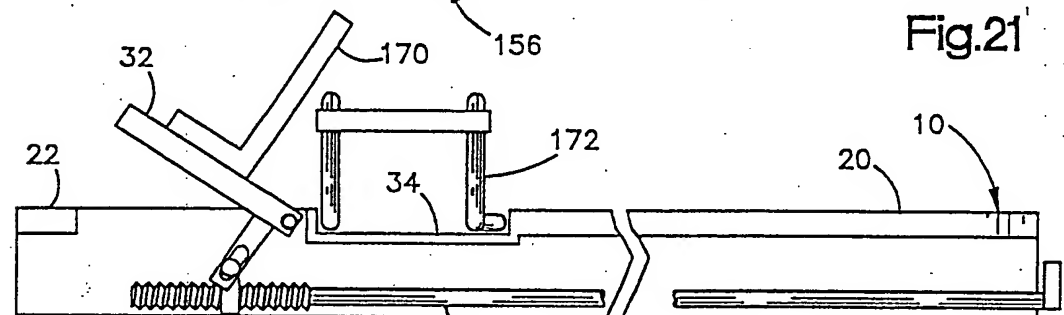


Fig.22

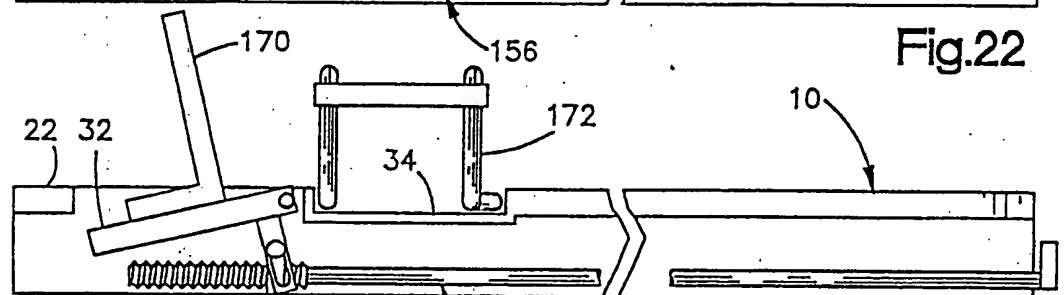


Fig.23

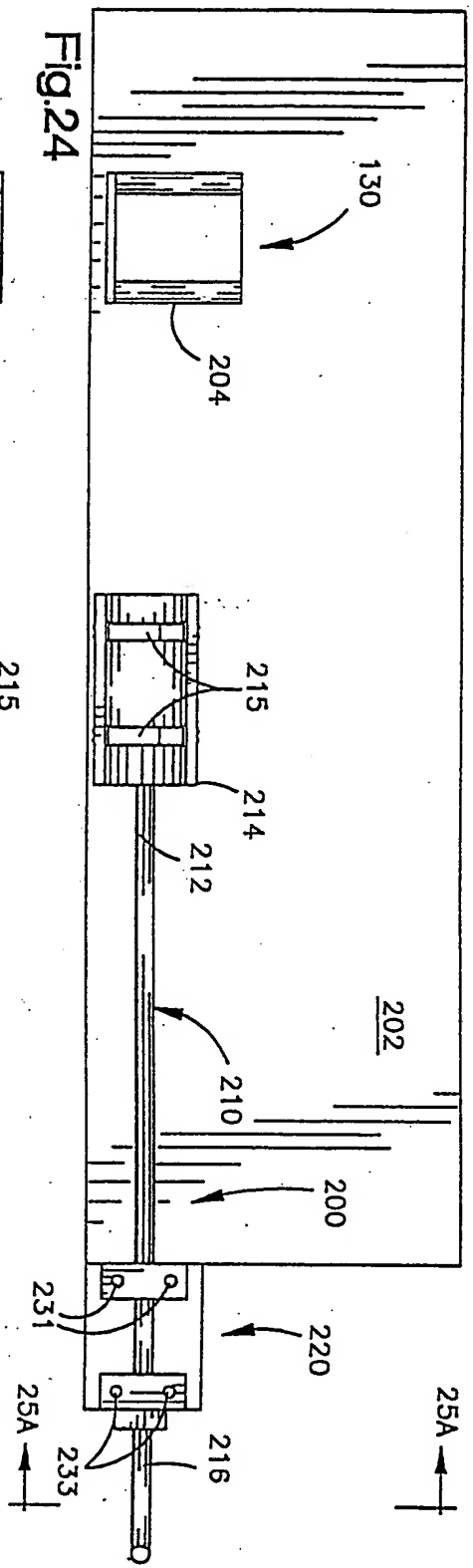


Fig. 24

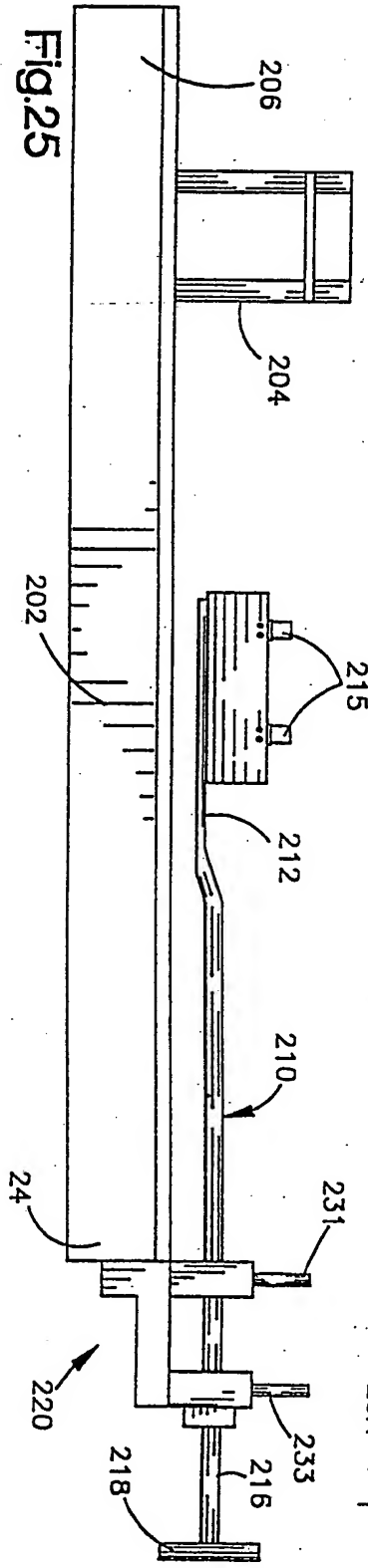


Fig. 25

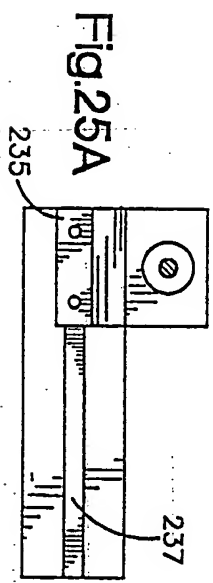
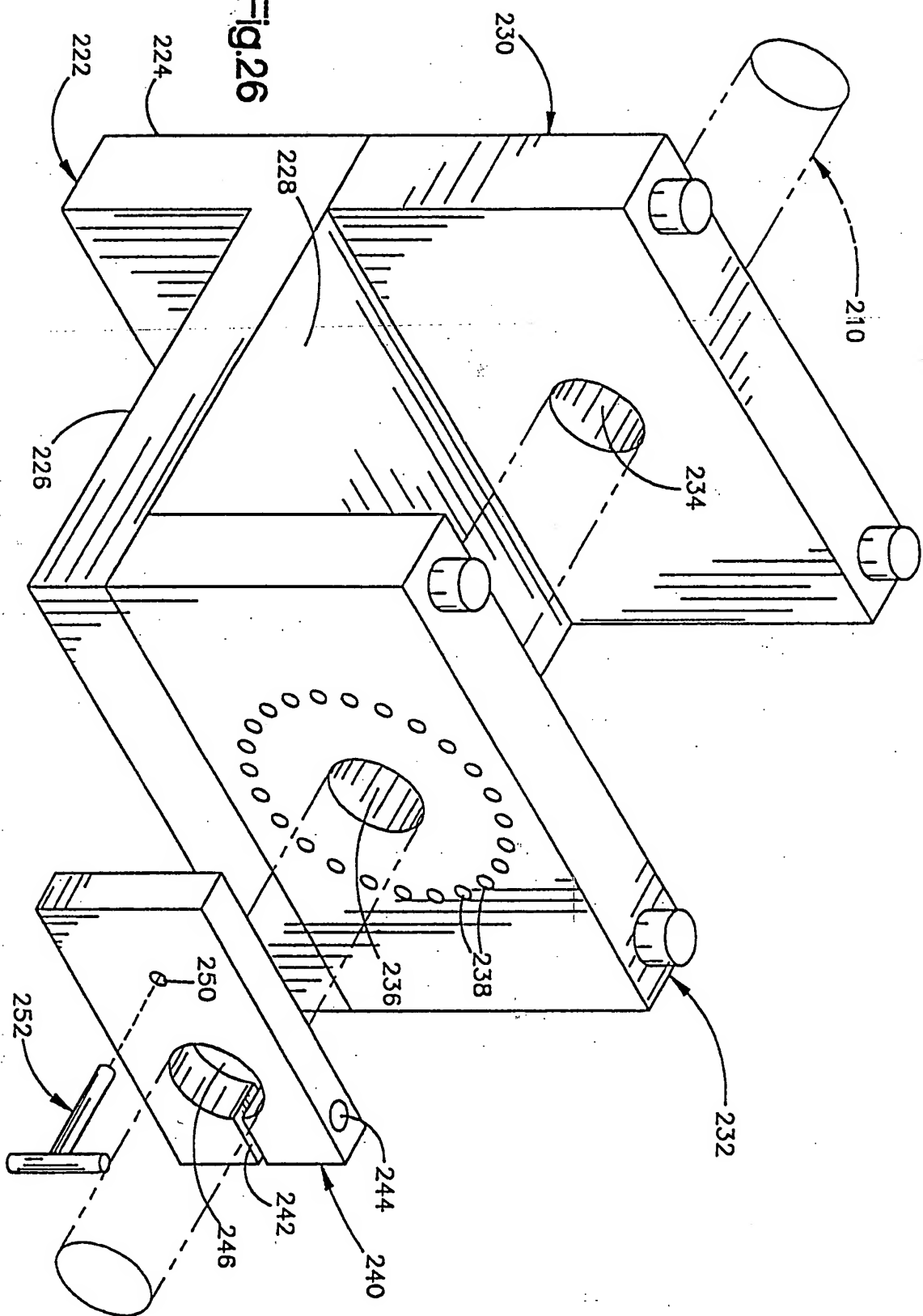


Fig. 25A



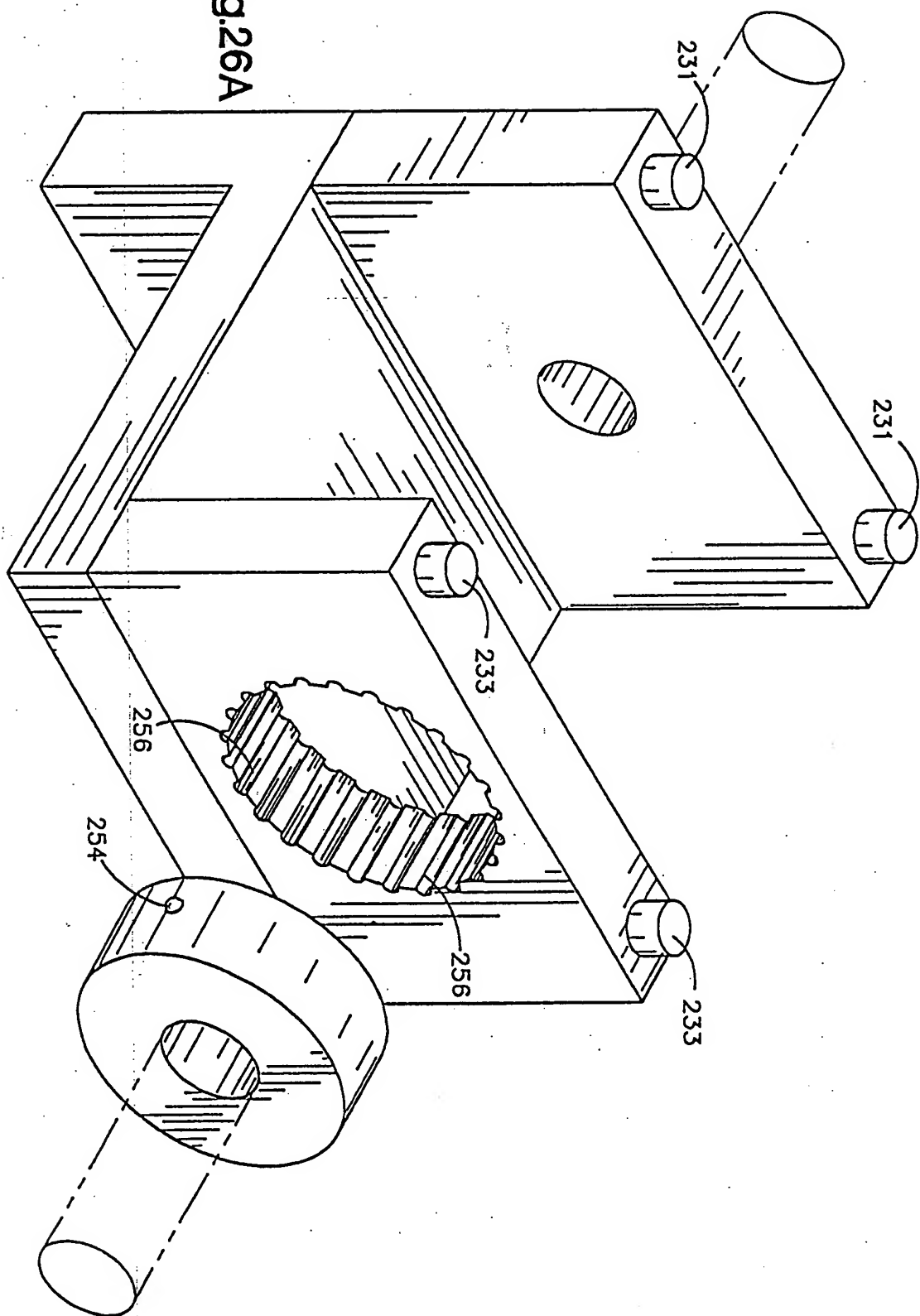
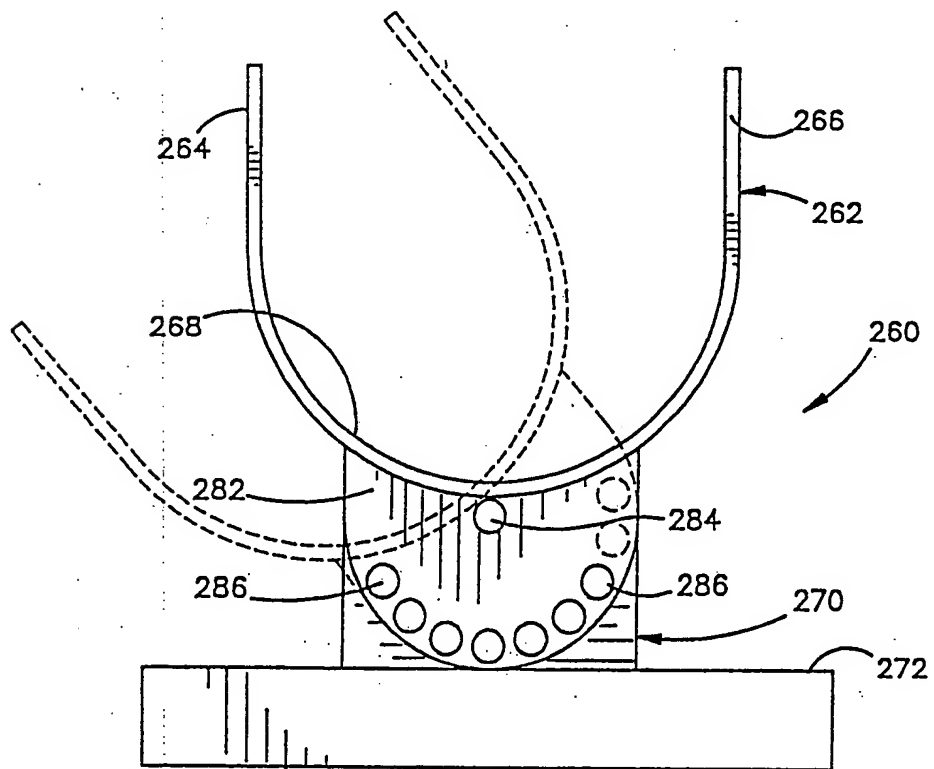
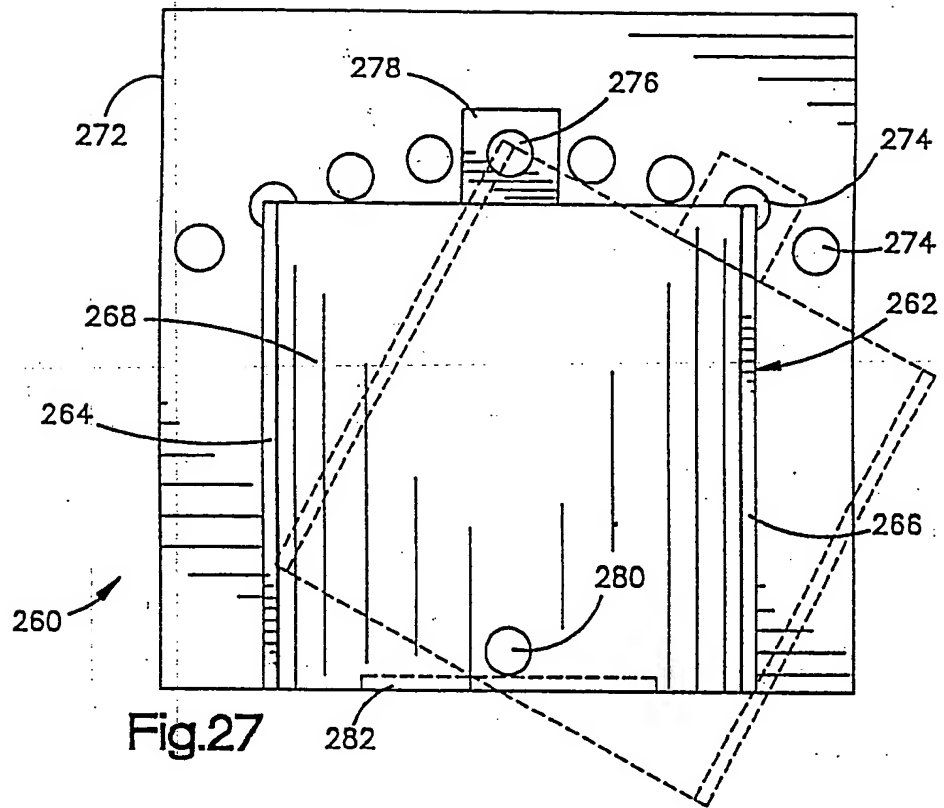


Fig.26A



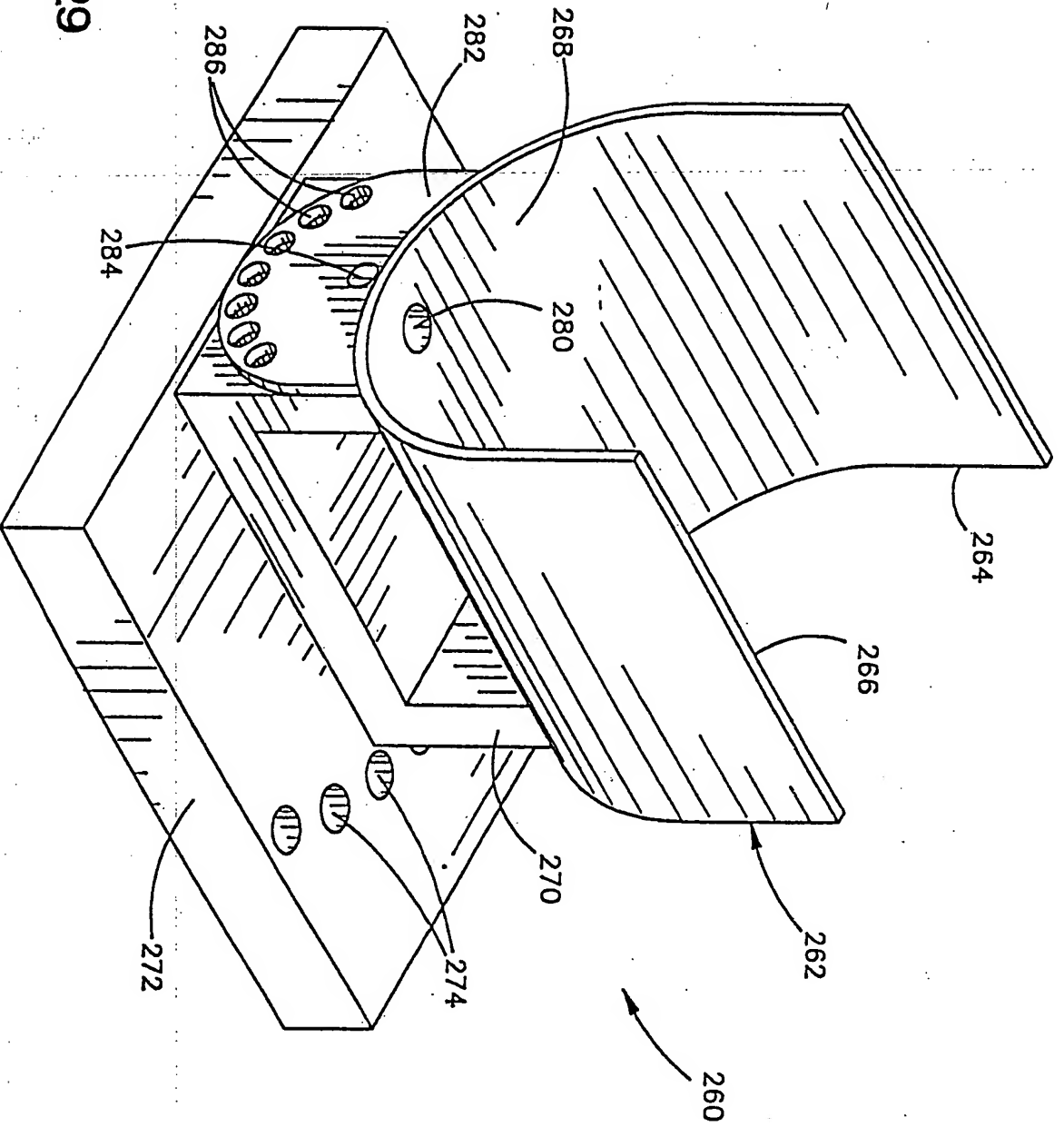


Fig.29

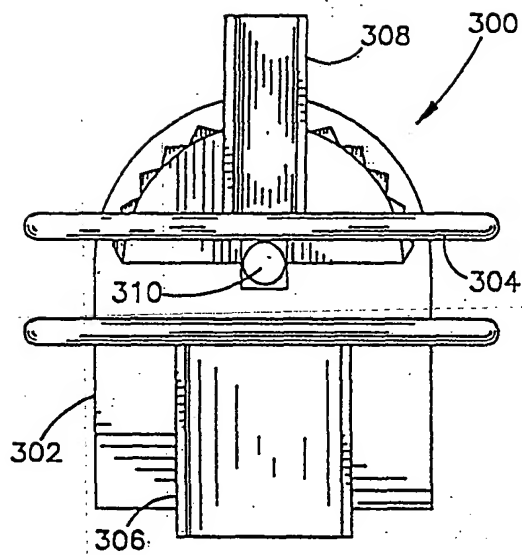


Fig. 30

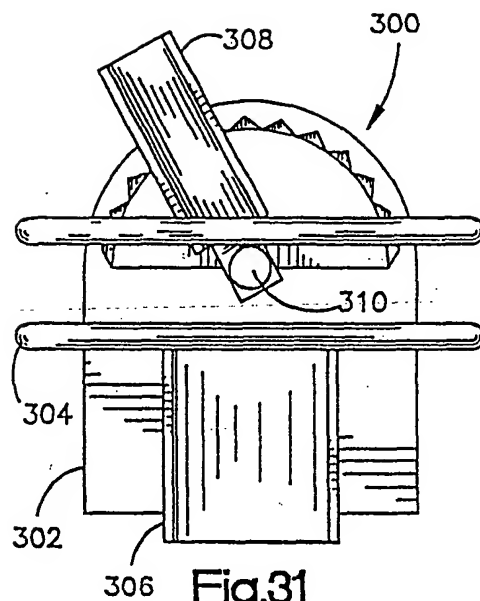


Fig. 31

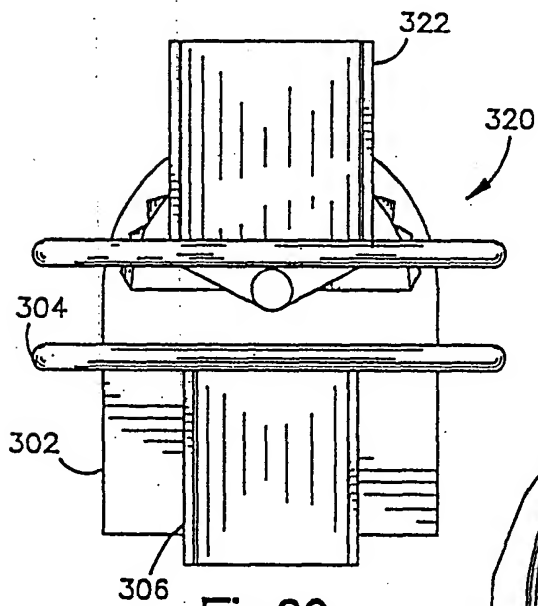
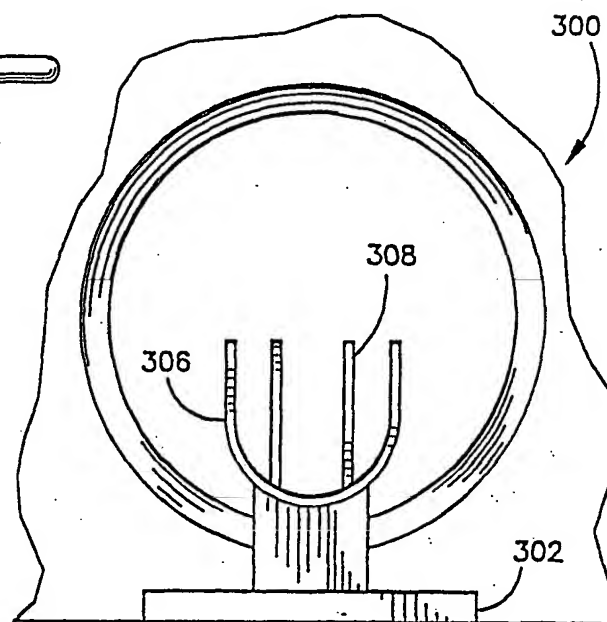


Fig. 32

Fig. 33



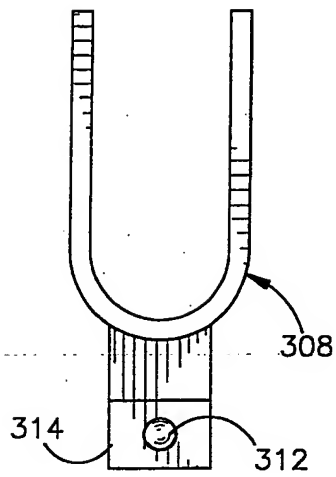


Fig.34

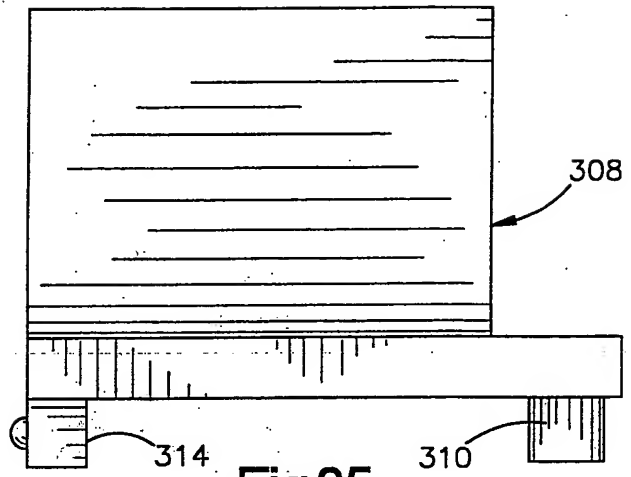


Fig.35

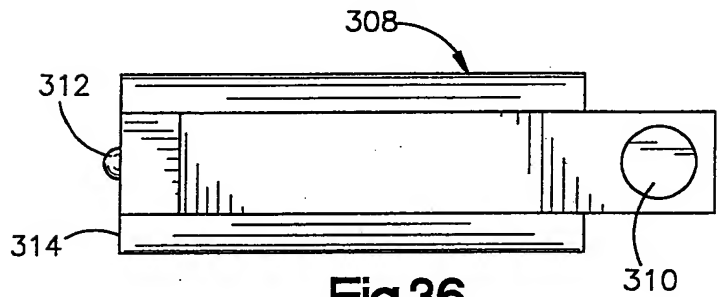


Fig.36

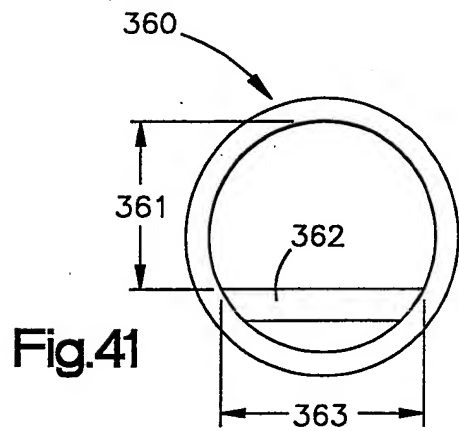


Fig.41

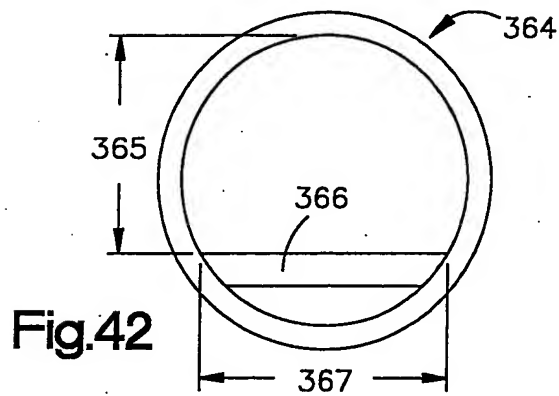


Fig.42

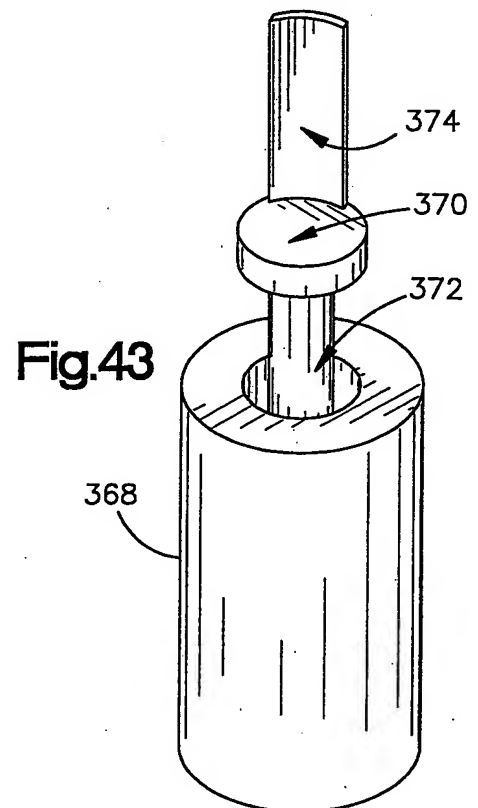


Fig.43

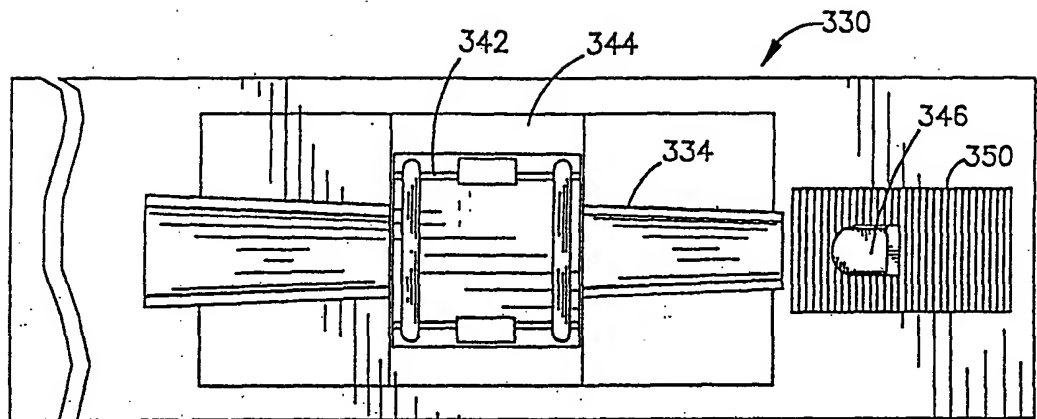


Fig.37

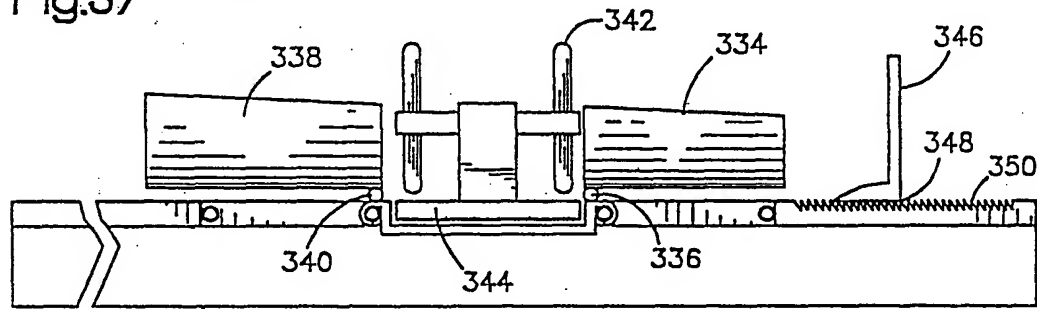


Fig.38

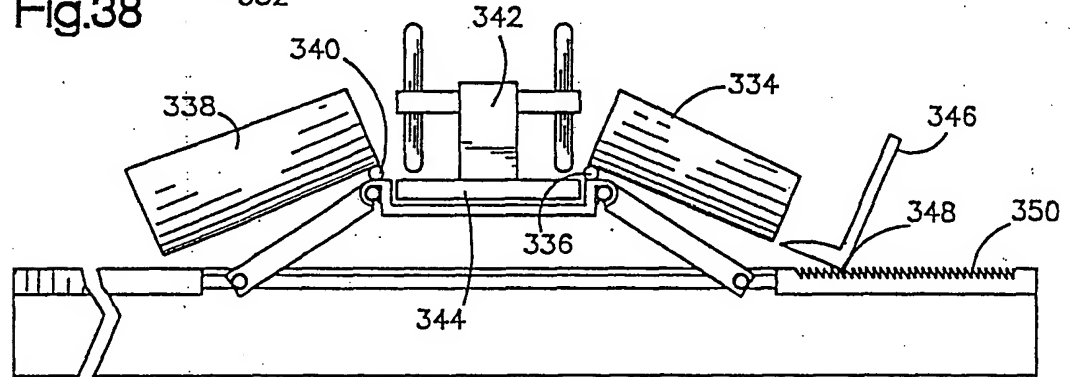


Fig.39

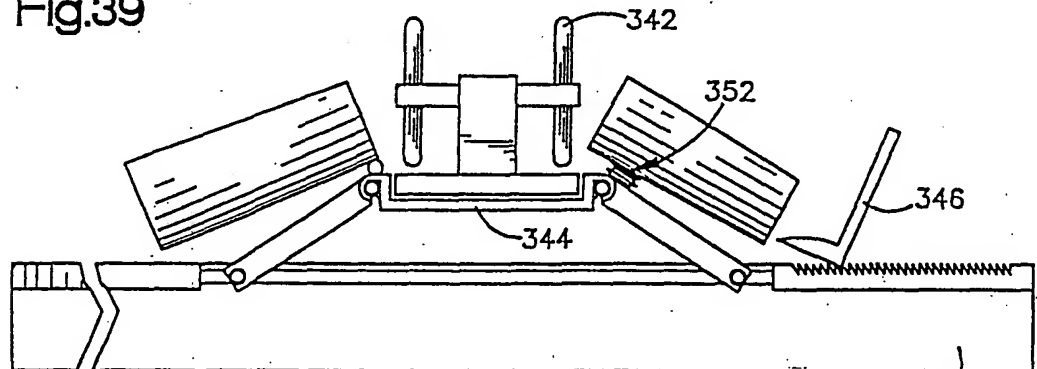


Fig.40